

中国科学院青海甘肃綜合考察队

引洮上山的工程地质問題

第二輯

(内部資料·注意保存)

科学出版社

04450

86.8479
144

引洮上山的工程地質問題

第二輯

中国科学院青海甘肃綜合考察队編

(内部資料·注意保存)

科 学 出 版 社

00949

內 容 簡 介

本輯汇集了中国科学院青海甘肃綜合考察队引洮工程地质分队等单位在1958—1960年間，对引洮工程建筑的工程地质条件特点及渠道工程，特别是在黃土分布地区修建的渠道工程的工程地质預报原理及方法的研究总结。此外，还介绍了1960年对西北黃土地区已建成的渠道所发生的工程地质現象所作的考察資料。这些研究成果不仅对于黃土地区修建渠道工程有重要参考价值，对于非黃土地区修建渠道时，也有其一定的参考意义。

引洮上山的工程地質問題

第二輯

編 者 中 国 科 學 院
青海甘肅綜合考察隊

出版者 科 學 出 版 社
北京朝阳門大街 117 号
北京市书刊出版业营业許可證出字第 061 号

印刷者 中 国 科 學 院 印 刷 厂

发行者 科 學 出 版 社

1962年3月第一版 书号：2491 字数：167,000
1962年3月第一次印刷 开本：787×1092 1/16
(京) 0001—1,500 印张：7 3/9 插页：5

定价：1.25元

緒 言*

引洮上山水利工程是建設社会主义事业中的伟大工程之一，是甘肃人民在党的“鼓足干劲，力爭上游，多快好省地建設社会主义”总路綫光輝照耀下进行的。1958年6月，总干渠开始动工修建。

引洮总干渠所处的地質条件是复杂的。总干渠的上游属于西秦岭地槽海西褶皺带，岩性复杂，多为变质岩及沉积岩。岩层的构造节理及断裂发育，则为影响边坡稳定性的重要因素。渠道中游为紅色盆地，紅色岩系风化強烈，在地下水发育地段，滑坡現象严重，则为破坏渠道稳定性的不利条件之一。渠道下游，除个别地段如华家岭、六盘山外，皆为黃土分布地区。黃土的性质变化繁多，湿陷、溶洞及水土流失現象十分严重。为了保証渠道安全，必須解决防湿陷、防滲漏等重要問題。除此而外，总干渠沿綫也为不同程度的強烈地震区。因此，这条伟大的“山上运河”給工程地質研究工作带来了丰富的内容和复杂的任务。

为完成“山上运河”，必需解决一系列工程地質問題，如強烈褶皺带区基岩的边坡稳定性問題，渠道通过滑坡地段的渠道稳定問題，土渠道的湿陷及防滲問題，深劈岭工程的稳定性問題等。

引洮上山的工程地質勘測工作，是从1958年1月开始的，由中国科学院兰州分院地質研究室（現改为中国科学院兰州地質研究所）、甘肃省地質局、鐵道部兰州第一設計院、甘肃省城市建設局等单位完成了渠道測量阶段的选綫任务。

在渠道測量阶段工程地質的主要任务，是密切地配合測量选綫工作，进行了渠綫的工程地質特性比較研究，以便选择合理的渠綫位置。为渠道設計提出了初步的工程地質条件說明，并为进一步的研究工作积累資料。

从1958年6月开始，中国科学院青海甘肃綜合考察队引洮工程地質分队、地質部水文地質工程地質研究所黃土研究組也参加了这项宏伟的工程。主要是参加了設計阶段的工程地質工作，对渠綫的工程地質条件、边坡稳定、渠道滲漏及坝址的稳定性等問題做了研究，为工程設計提供了重要依据，并为进一步解决工程地質問題以及今后的研究工作打下了基础。

自工程开始，到目前为止，工程地質工作是在“边測量，边設計，边施工”的工作方法指导下进行的。各单位提出很多的地質資料，保証了工程的开工。但这些資料是零星的，分散进行的，缺乏系統整理，所以进行全面的工程地質研究工作总结，編写出初步的研究报告还是很必要的事。

本书对区域地質結構、水文地質条件及物理地質現象等做了分析。这样可使我

* 执笔者孙玉科。

們概括地了解区域地质情况，并足够地估计到它的复杂性，以确定出解决问题的途径。

在本书中对下列的几项问题进行了专题讨论：

关于水库及坝址的工程地质条件的研究，并对修建水库的可能性及坝址的选定做出结论。

对渠道通过的滑坡体及滑坡区的稳定性做了分析，对滑坡的成因进行了阐述，对可能发生的不良的工程地质现象，提出了初步的防治措施。

研究了渠道土质（岩石）边坡的工程地质分类问题，对分类的原则及边坡的类型都进行了讨论，可供作为定型断面设计的依据。同时，对人工高边坡的稳定性及决定边坡稳定性的重要因素也做了阐述和分析。

关于黄土渠道稳定性及防渗问题研究方面，着重地分析了黄土的工程地质性质，提出了渠道湿陷预测方法及对渠道稳定性的影响。同时，对黄土的防渗具体措施，提出了一些基本原则和建议。

关于黄土建筑材料问题，主要是阐述了原湿度黄土筑坝的可能性。

上述的研究成果，是在已往的地质工作基础上，分别以中国科学院青海甘肃综合考察队引洮工程地质分队、中国科学院兰州分院地质研究室水文工程地质研究组及地质部水文地质工程地质研究所黄土研究组等单位所取得的资料为主要材料，经过上述单位集体讨论和编写的。但编写工作因受业务水平和时间限制，对现有的大量地质资料还未能进行深入研究分析。因此，本报告会存在不少缺点和错误，希望广大地质工作者及工程设计工作者提出宝贵的意见，以求得在今后的工作中改进和更深入一步地开展研究。

引洮上山工程地质工作是在引洮工程局党委直接领导下进行的，在工作中承蒙中国科学院土木建筑研究所、甘肃省水利厅、甘肃省地质局、铁道部兰州第一设计院、甘肃省城市建设局等单位大力协作，特别是引洮工程设计人员曾给予多方面支持，在此均深表谢意。

目 录

緒 言.....	(v)
引洮总干渠沿線工程地質条件及其区划.....	(1)
古城坝址工程地質条件.....	(25)
引洮总干渠第一期工程中渠道通过滑坡体和滑坡区的稳定性及其防治措施.....	(35)
引洮渠道土質(岩石)边坡的工程地質分类.....	(49)
人工高边坡的稳定性問題.....	(57)
黃土渠道稳定性問題.....	(68)
引洮工程渠道的防滲.....	(83)
原湿度黃土修筑土渡槽問題.....	(88)
附录一 隘西黃土工程性质的一些資料.....	(105)
附录二 引洮总干渠隘东部分黃土的工程地質特性——物理、水理、力学、化 学性质.....	(118)

00949

引洮总干渠沿綫工程地質条件及其区划

一、总 述*

甘肃省中部及东部位于我国以干旱著名的黄土高原。各地气候大致相同，略有差异（见表1）。由岷县至庆阳间自西向东呈现两端较潮湿，中间干旱，高处潮湿，低处干旱的特征。如岷县潮湿系数为0.49，定西、会宁及西吉等地分别为0.21, 0.19, 0.14，庆阳西峰镇为0.4，而华家岭则为0.37。年气温变化极为剧烈，具有显著的大陆性气候特点。区域土壤以灰、栗及黑钙土型土壤为主，一般适于耕种，奈因气候干旱，土壤缺水，故有“十种九不收”之说。当地居民迫切要求改变这种景象。

表1 引洮灌区几个地点气象特征

	单位	岷 县	临 洮	渭 源	定 西	通 渭	华 家 岭	会 宁	西 吉	固 原	西 峰
年降水量	毫米	584	469	454	369	425	475	362	260	410	546
年蒸发量	毫米	1257	1368	1504	1724	1591	1291	1916	1829	1857	1377
潮湿系数	—	0.49	0.34	0.31	0.21	0.27	0.37	0.19	0.14	0.22	0.40
年最高气温	t°C	31.8 ^x	36.0 ^x	29.3	31.2 ^x	31.9 ^x	28.2 ^x	31.6 ^x	—	17.5 [△]	21.5 [△]
年最低气温	t°C	-23.5 ^x	-29.6 ^x	-20.3 ^x	-23.3 ^x	-23.7 ^x	-24.4 ^x	-21.1 ^x	—	-8.1 [△]	-3.6 [△]
年平均气温	t°C	7.2	8.5	6.1	6.8	6.9	14.2	7.1	—	7.5	9.9

注：^x——极端值；[△]——月平均值。

改变上述干旱景象的关键问题在于水。1958年初，中共甘肃省委决定立即着手修渠引洮河水，以应急需，灌溉黄河以南、渭河以北、洮河以东、马莲河以西，即东经 104° — 108° 和北纬 $34^{\circ}20'$ — $36^{\circ}30'$ 间，东西长320公里，南北宽200公里的地区，总面积64,000平方公里范围内的大片可耕种土地。

洮河发源于甘肃与青海两省交界的西倾山。流经岷县、临洮，于兰州西约60公里的茅龙峡入黄河。河道长580公里，流域面积31,400平方公里。据李家村水文站实得多年平均的年逕流量为43.1亿公方，合136.1秒公方。最大逕流量为273.3秒公方（9月），最小逕流量为50秒公方（2月）。

总的來說，設計的灌溉区地貌，可分四大单元，即：秦岭构造山地山前丘陵区、陇西黄土高原区、六盘山构造山地及陇东黄土高原区。此四个地貌单元的地形被黄、渭水系及其支流（洮河、祖厉河、清水、渭河、葫芦河、涇河及马莲河等）切割成支离破碎。所塑造成的地形，高者为山或梁，低者为沟或谷，梁梁相连，构成黄、渭水系的分水岭。黄、渭总分水岭的地势与大区地势一致，西高东低。如岷县一带，洮、渭分水岭

* 执笔者孙广忠。

羣山拔海高程一般為 3,100 米，洮河河床標高為 2,200—2,300 米。而馬蓮河一帶隴東黃土高原一般拔海高程為 1,500 米，河床高程為 1,300 米左右。其間有高有低。高者如華家嶺高程為 2,400 米，月亮山為 2,600 米，六盤山可達 2,600—3,000 米。低者如大營梁，拔海高程僅為 2,100 米左右。

上述特點控制著引洮灌溉渠系及灌區的規劃。

根據引洮工程局的規劃，引洮灌溉渠系的渠首設於岷縣古城。引洮總干渠自古城起，伴洮河北行至黑店峽，逐漸引水上山。轉行於洮、渭分水嶺末段，過 2,400 米標高的黃、渭分水嶺——華家嶺，穿越六盤山，達董志塬（見圖 1）。

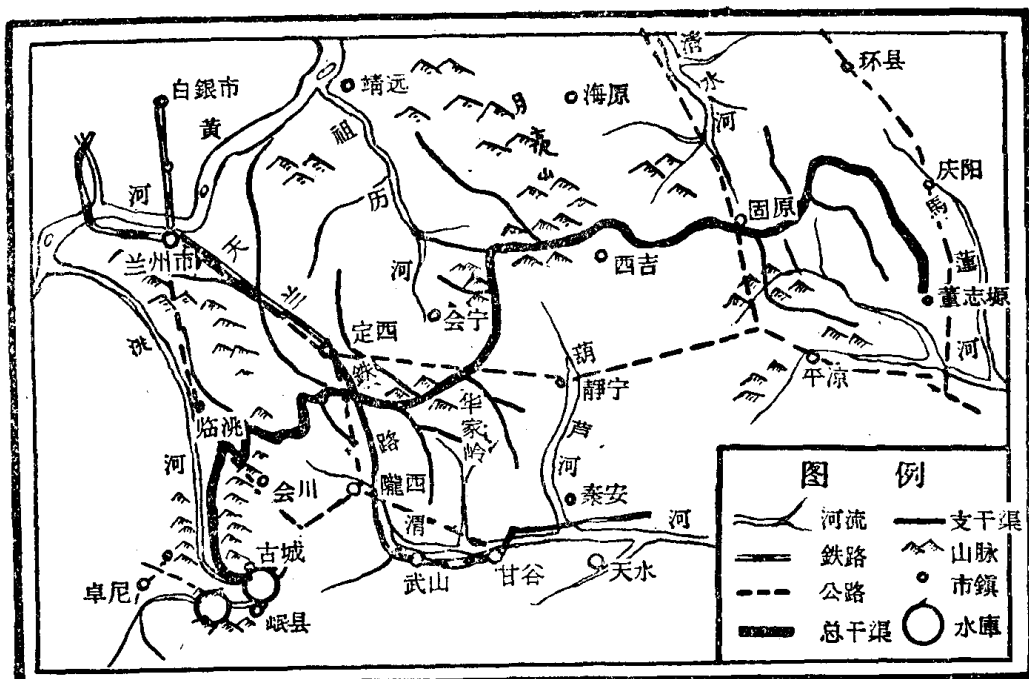


图 1 引洮灌渠地勢及渠系分布圖

渠線所經過地段有時被山嶺所擋，有時為溝壑所阻。考慮通航需要，確定遇山則劈；逢沟或繞或以渡槽跨越。

引洮工程規模極其宏偉，技術十分複雜。在進行修建如此大型工程時，必須慎重地弄清渠道的工程地質條件。

本文擬將引洮總干渠工程地質條件做一扼要的闡述。找出工程設計中應注意的問題。

二、引洮總干渠渠道工程地質條件一般特點

如上所述，引洮總干渠設計渠線蜿蜒曲折行於秦嶺構造山地山前丘陵區、隴西黃土高原區、六盤山構造山地區及隴東黃土高原區等四大地貌單元中的黃、渭水系的分水嶺之上。這四大地貌單元的地質結構、水文地質條、氣象特徵及其上所發育的物理地質現象強度皆有不同，故渠線各段的工程地質條件亦各異。

I. 渠道沿綫地質結構的工程地質條件特點*

地跨300余公里，渠綫長達1,400余公里的引洮總干渠所經過的地段的地質結構，明顯地呈現着區域性分布規律。

渠道沿綫各段地層出露的一般情況見於附圖及表2。

表2資料指出，根據大地構造特點，全綫可以分為五個區段，即：

- (1) 岷縣至黑店峽段——秦嶺中晚古生代地槽海西褶皺帶；
- (2) 黑店峽至華家嶺段——隴西地塊；
- (3) 華家嶺至偏城段——北祁連山早古生代地槽加里東褶皺帶；
- (4) 偏城至固原段——六盤山台凹燕山褶皺帶；
- (5) 固原至董志塬——鄂爾多斯台向斜。

區域最古老地層為太古代皋蘭羣變質結晶岩系所構成。它主要遭受古生代前構造作用，褶曲極劇烈，伴隨有火成岩侵入。該系地層構成隴西地塊的基底，分布於北大寨至華家嶺一帶。

隴西地塊東側，華家嶺至偏城間為早古生代南山羣地層出露區。岩層受加里東構造運動作用發生褶曲。伴隨產生中等程度變質現象及酸性岩脈侵入。海西、燕山等構造運動對它的褶曲斷裂及變質作用亦有一定影響。這一套地層構成北祁連山地槽加里東褶皺帶東延部分。

厚達萬米以上的中晚古生代地層分布於渠首至黑店峽間，構成秦嶺地槽北翼。其中的中泥盆統至中石炭統遭受海西構造運動作用極劇烈，岩石伴隨產生輕微變質。岩層常呈閉合褶曲，急傾斜產狀。板岩中片理及劈理特別發育，層面斷裂及引曳褶曲屢見不鮮。堅硬的砂岩類岩層常出現有“人”字形構造，岩層極破碎。顯見，這一套地層工程地質特性主要受構造作用所控制。上石炭統至二迭系形成於地槽的週返期，其遭受海西構造運動作用影響較前者輕微，岩層僅遭受中等程度褶曲，岩石發生極輕微或未發生變質現象，它們的工程性質一般良好。

總干渠最東段為鄂爾多斯台向斜。根據文獻記載的資料，其基底地層為桑干羣及滹沱羣變質岩系所構成。其上，復以古生代淺變質的由海相逐漸過渡為陸相的沉積岩系。這一套古老地層於渠道沿綫很少出露。

上述諸古老地層除渠首至黑店峽段秦嶺地槽的中晚古生代地層直接出露地表者外，其餘的幾乎全被中新生代沉積物所復蓋，而與渠道工程本身無直接關係或影響不十分大。

中生代時，北祁連山地槽與鄂爾多斯地台交接處，鄂爾多斯地台西南部以及秦嶺地槽與隴西地塊交接處先後發生不等程度的凹陷。於六盤山一帶沉積有侏羅系及下白堊統。於黑店峽一帶沉積了上白堊統。前者在燕山運動作用時，發生劇烈褶曲而隆起形成六盤山雛形。黑店峽至渭源一帶遭受燕山作用較輕微。岩層呈現輕微褶

*執筆者孫廣忠。

表 2 弓冲洗总干渠沿线各段地质结构特点

区 段 编 号	大地构造单元 地点	地层系统		地层 名 称 代号	性 质 特 征	厚 度 (米)	构 造 作 用 及 现象
		名 称	代号				
I	秦岭中晚古生代地槽海西褶皱带 岷县至黑店峡	近代堆积层	QIV	冲积、洪积、冲积、风积、冲积、风积、冲积层，含蠕牛及螺砾。	底部冲积砾石层，黄土中时而夹洪积角砾层，亦有冲积角砾中夹黄土层(洪积层)分布于河谷两岸及山坡上。	痕断至15—25	未受构造作用
		上第四系	QIII	高原期洪积黄土，含古生代层，偶夹角砾，含蠕牛、螺砾及哺乳类动物牙化石。		5—25	
		中第四系	QII	灰色、灰绿色亚砂土、淤泥，夹褐色粉砂层，含螺丝及蠕牛，见于崖壁。		30—30	具有交变节理
		下第四系	E	底部为灰色砾岩层，厚20—30米；上部为砖红色砂岩夹红色粘土质页岩，时而见有薄层绿色、灰白色页岩或砂岩夹于其中。	砾层与基底岩层接触。具交变节理及小断层。	15—20	受轻微构造作用，盆地边缘带与基底岩层接触。
		上二迭统	P2	中部为棕红色，岩性为棕红色、黄绿色及灰黑色页岩夹砂岩；上部为灰岩及劣质页岩层，含头部足类化石；中部为灰黑色页岩及砂岩，含腕足类化石。分布于黑店峡一带。	遭受中等程度构造作用，岩层倾角一般小于45°，嵌入层理发育，岩层较完整。	100	
		下二迭统	P1	含红色的页岩，上部为夹少量的砾岩及砂岩的砂质页岩及灰岩，含珊瑚及腕足类化石，分布于九甸峡、黑店峡、磨沟峡等地。	遭受中等程度构造作用，岩层倾角一般小于45°，嵌入层理发育，岩层较完整。	200—250	
		上石炭统	C3	底部为灰白色千枚状板岩，夹砂岩及灰岩层。分布于杜家川至那儿尼一带。	遭受中等程度构造作用，常呈紧闭弯曲，板岩中引曳岩层滑移及剪理密集，出现“人”字型构造，岩石被剪切割，破碎较严重。	500—600	
		中石炭统	C2	薄层板岩与中厚层砂岩互层，中夹薄层及厚层灰岩、泥灰岩及含 Fusulinella sp. 化石的角砾灰岩，砂岩常含钙质成分，近底部为灰、灰绿及紫红色、黑色等，上部为黑色。分布于梅川至杜家川一带。	>2,000		
		上泥盆统	D3	下部为黑色板岩夹灰黑色灰岩及砂岩，含腕足类及珊瑚化石；上部为青灰色石英岩及砂岩。分布于那儿尼至包西口一带。	2,000—2,500		
		中泥盆统	D2	灰绿色板岩及石英岩，含黑色砾石层，于二郎山板岩中见有 <i>Sinospirifer sinensis</i> 。			
II	黑店峡至醴西地	近代堆积层	QIV	冲积、洪积、重力堆积等亚粘土、砾石层，分布于河谷、山麓等地。	痕断至15	未受构造作用	
		上第四系	QIII	风积、冲积、洪积、黄土，含蠕牛及螺砾，冲积洪积砾石层，分布于河谷台地及山坡、山梁等地。	5—15		
		中第四系	QII	高原期黄土，分布于标高2,500—2,600米以下，含蠕牛、螺砾化石，人面梁附近最大孔深达160米未见底。	一般20—50米 最大约200	局部受构造作用形成有交变节理	
		下第四系	QI	1. 灰色、绿色亚粘土及淤泥与褐黄色粉砂层，沿缓坡有零星出露，含 <i>Elaphs</i> sp. 化石。 2. 角砾石层，分布于大盐河上游及骨头盆，未成岩状态。 3. 残积-洪积粘土碎屑堆积物，在大寨子至司家河一带分布较广，全段皆有零星分布。	25—30 20—30 最大300	常发现局部受构造作用及小型断裂，具交变节理	
					10—20		

块	柳家岔	上第三系 下第三系 上白垩统 皋兰	N	含石膏的红色粘土岩，橙红色与暗红色粘土互层，淡红色粘土(可能属Q1)，易风化 化分布于大寨以东	10—30 最大可 达300—400	受轻微褶曲，有小型断裂。
			E	底部为灰色砾石层，厚20—30米；中部为砖红色砂岩夹粘土岩层；上部为粘土层 砾质砾岩，灰白色砂岩与砾质页岩互层，紫红色粘土质页岩与砂岩互层，紫 红色夹灰绿色砾岩，上部易风化分布于朱蒙山以西	200—300	受轻微褶曲，发育不甚发育 断裂，交叉节理不甚发育
III	柳家岔至偏城	北祁山 旱生古代 槽带 加里东褶皱带	A	片麻岩，大理岩，准片麻岩，有酸性岩脉侵入 冲积、坡积、洪积亚粘土，下部具有清楚的层理，上部常无层理。分布于各河谷川 地及山脚等处	5—20	未受构造作用 5—15
			Q1v Qm Qn	风积黄土，分布于山梁及山坡处 冲积-洪积黄土，分布于河谷台地上	20—30	局部具交叉节理 最大达270
IV	偏城至固原	六盘山古 生代槽 带 加里东褶皱带	中第四系 下第四系 上第三系 南山羣	高原期黄土，全段皆有分布，西吉附近，厚度可达250—270米 1.灰色，绿色亚粘土及淤泥与褐黄色粉砂互层，出露于山脊及山脚处 2.冲积-洪积红粘土层，全段皆有零星出露 含石膏的红色粘土岩，橙红色与暗红色粘土与粘土岩互层，淡红色 粘土(可能属Q1)，全段皆有零星分布 E-D	10—20 20—30 10—20 不	遭受轻微褶曲，小型断层， 具交叉节理 遭受轻微褶曲，发育有小型 断裂及较密集的交叉节理 所受构造变质作用低于皋 兰
			Q1v Qm Qn	洪积、重力堆积滑堆积物，分布于六盘山山麓两侧及山间沟中 风积黄土，分布于山坡等地 冲积洪积带，有时夹有砾石，分布于六盘山前山麓等地	3—5 10—20	未受构造作用 3—15
V	固原至董志塬	鄂尔多斯台向斜	中第四系 下第三系 下白垩统	高原期洪积、坡积黄土层，分布于六盘山西麓及固原盆地内 底砾岩层0—5米，砂砾岩层，紫红色、砖红色，砂岩夹砾层杂色砂岩或粘土岩 层，分布于六盘山两翼 K1 山牛体	300—400	呈波状弯曲
			Q1v Qm Qn	冲积、洪积、重力堆积砂及粘土，分布于河谷及山脚 风积黄土，分布于塬上及塬坡 浅棕色黄土块亚粘土，出露于沟谷斜坡及山脚处	1,500—2,000 20—100	褶曲极剧烈，岩层有时呈 直立，岩层尚完整 构造作用不明显 5—30—70
			下第四系 下白垩统	Q1 K1	40—50 1,500—2,000	构造作用轻微，岩层近水平 构造作用不发育

* 按地质部水文地质工程地质研究所黄土组划分当为Q1，根据中国科学院地质研究所引洮地质队与耀西对比认为可能系N。

曲，局部形成穹窿状构造。

中生代凹陷区在新生代初期，即早第三纪（固原期）时期又复下沉。其活动范围较中生代时期为大。凹陷区内充填以早第三纪湖相粗碎屑红色岩系。此系地层遭受不等程度的喜马拉雅构造运动的影响而褶曲，伴随产生小型断裂。渠首至黑店峡段秦岭山地内盆地型沉积的红色岩系在原来凹陷的基础上再度下沉，形成盆地型向斜褶曲，伴随产生有小型正断层及沿层面移动的小断层。黑店峡至何家梁段仅遭受轻微褶曲，伴随产生闭合节理。六盘山一带在陇山运动作用下，再度上升，形成六盘山之今日形态。随此，岩层产生较为剧烈的褶曲，发育有小断层，节理密集。

第三纪后期，即晚第三纪时期，渭源以东的陇西广大区域内发生大面积凹陷。普遍沉积了一层晚第三纪的红粘土。该岩层遭受轻微构造作用，发育有轻密集的节理。红粘土处于较低级的成岩作用阶段。

以上是引洮总干渠沿线第四纪以前的地质结构基本特点。

渠道沿线极其广泛的分布着第四纪沉积物，特别是黄土。

区域内第四纪地层较为复杂，目前尚无统一的地层划分标准。

陇西区第四纪地层根据中国科学院青海甘肃综合考察队引洮工程地质分队划分结果示于表3。

陇东区根据地质部水文地质工程地质研究所黄土研究组划分结果示于表4。

应当指出，根据地质部水文地质工程地质研究所黄土组所做的陇东第四纪地层划分的标准，在六盘山以东所观察到的早第四纪地层与中国科学院青海甘肃综合考察队引洮工程地质分队在陇西工作的基础上所划分的晚第三纪红粘土层顶部极相似。

根据上述的划分标准，引洮总干渠沿线第四纪地层分布情况示于附图及表2。

表3 陇西第四纪地层划分表
(根据中国科学院青海甘肃综合考察队引洮工程地质分队, 1959年)

时代	代号	地层名称	岩性特征	化石	构造作用	成岩作用	组成的地貌单元	成因类型	厚度(米)
新第四纪	QIV	现代堆积层	粘性土，砂，卵石及角砾	一	未受	疏松	河谷、台地、山麓基岩表面	冲积、洪积、坡积、残积、重力堆积	痕迹—20米
晚第四纪	QIII	风积期黄土层(新黄土层)	淡黄色亚砂土，亚粘土，冲积砂卵石层	蜗牛、蝶丝、田鼠、羊齿等	未受	疏松	二级以上台地梁峁塬顶及坡	风积，少量的冲积	10—40
中第四纪	QII	高原期黄土层(老黄土层)	褐色亚粘土，下部富含可溶盐，常具鳞片状构造，局部可见层理	牛、马等哺乳类动物骨骼及牙齿	局部发育有交叉节理	致密、坚硬，有石化的痕迹	四级以上台地底部，广大黄土高原区的梁峁塬主体	坡积-洪积等细流作用	一般20—50米，最大可达270米
早第四纪	QI	湖相沉积层、角砾层、残积层	灰绿色亚粘土与褐色粉砂互层，灰色角砾岩层，残积红粘土	<i>Elaphs</i> sp. 及哺乳类动物牙齿	轻微褶曲及小型断层发育有交叉节理	微石化，处于成岩作用的初步阶段	不定	湖相、洪积、残积	20—30米，角砾岩层可达300米

表4 隴东黄土地区地层划分表
(根据地质部水文地质工程地质研究所黄土研究组, 1957年)

地层划分	时 代	成 因 类 型	厚 度 (米)	岩 石 种 类
第Ⅳ組	Q _{III-2+IV}	冲积、坡积、残积、风积、混合型	1—2米至数十米	黄土及黄土状亚粘土、河成砂砾石
第Ⅲ組	Q _{III}	Q _{III-2} 洪积	8—15	黄土
		Q _{I-1} 洪积	50—70	黄土、黄土状亚粘土及古土壤层
第Ⅱ組	Q _{II}	洪积	70—150 一般为 120	富含钙质的黄土状亚粘土
第Ⅰ組	Q _I	湖相沉积及洪积	20—80 一般为 40	富含钙质的重亚粘土、黄土状亚粘土、黄土状粘土

早第四紀初期, 隴西区处于上升剥蝕阶段。繼而轉为下降, 气候极潮湿, 故早第四紀地层底部广泛地分布一层厚約 20—30 米的殘积角砾状紅粘土, 其上沉积有厚层的洪积角砾及湖相沉积物。在早第四紀末期, 地壳曾一度活动, 使早第四紀地层发生輕微褶曲及小型断裂, 伴随发育有交叉节理。

中第四紀时期, 地区开始較大幅度下沉, 在細流作用下堆积了大量黄土, 即引洮工程地质分队命名的“高原期黄土”(或称“老黄土”)。根据引洮地质队的資料, 隴西高原期黄土最大厚度可达 270 米, 渠道沿綫一般厚度約 20—30 米。据地质部水文地质工程地质研究所黄土研究组資料, 隴东地区黄土状亚粘土最大厚度可达 150 米。該黄土在隴西局部地点发现有交叉节理。

隴西、隴东普遍而广泛地分布一层厚約 10—30 米疏松的亚砂土类, 有时为亚粘土类黄土。时代属晚第四紀。

在隴西, 根据引洮工程地质分队的意見, 此层黄土系由风颶物质堆积成的。

在隴东, 根据地质部水文地质工程地质研究所黄土研究组的意見, 此层黄土系洪积的。

姑且不論其成因如何, 此层黄土具有如下一些特点:

- (1) 色淡黄或灰黄;
- (2) 成分属亚砂土或輕质亚粘土;
- (3) 結构疏松, 多大孔;
- (4) 含水量很低, 一般为 6—12%;
- (5) 密度小, 干容重一般为 1.1—1.3;
- (6) 呈被复状堆积于山脊及山坡、川地等不同地貌单元上;
- (7) 厚度一般为 10—30 米, 局部地段缺失, 或者很厚。

此层黄土为渠道沿綫工程地质条件最不良的一层。

区域正处在上升期, 新第四紀时期形成的近代堆积层多分布于地势較低及山麓一带。成因复杂, 有冲积、洪积、坡积、重力堆积及残积等。此层堆积物, 除近渠首一段外, 大部分与渠道工程无直接关系。

根据以上資料及在野外获得的其他有关資料分析, 我們对区域地质结构的工程地质条件做出如下四点結論:

1. 区域地質結構不論从全線或局部,从平面或剖面来看,其地質构造、岩层分布、岩石成岩作用等情況皆不均一。构成了区域地質结构的工程地質条件的复杂性。

2. 区域地层由于其形成条件及发展过程中遭受的次生作用情况不同,造成各期各种类型堆积物的联結情況或成岩作用程度上的显著区别。由此,决定了岩石的強度及稳定性亦有差异。

二迭紀以前形成的堆积物曾經經過多次构造运动作用。結果,皆发生了程度不同的变質。岩石的联結方式主要为矿物結晶体聚合的結晶力,此种联結方式,地层愈老,程度愈高。此类岩石不論抗风化能力或机械強度皆极高。

二迭紀、白堊紀及第三紀时期形成的堆积物受构造作用較輕微。一般皆未发生变質。堆积物的強度及稳定性决定于岩石的联結物質及联結方式。堆积物的联結可分为两类,即:(1)胶体脫水联結及(2)可溶盐联結。

胶体脫水联結的岩石,其強度及稳定性决定于联結物的胶体脫水程度及联結方式。

二迭紀时形成的岩石为胶体全脫水基底联結,遇水后稳定,无可逆反应,其抗风化能力及机械強度較高。

白堊紀及第三紀形成的岩石由可溶盐及胶体两种物質联結。

可溶盐以碳酸盐为主,所联結成的岩石在一般条件下較为稳定,机械強度較高。

胶体以粘土为主,多处于未脫水状态或半脫水状态,所联結成的岩石遇水不稳定,易风化。其強度决定于联結方式,一般較低。

由可溶盐及胶体混合物联結成的岩石,其強度及稳定性决定于联結物的比例。

白堊紀及第三紀砾岩系以碳酸盐联結的,故其強度很高,抗风化能力很強,所构成的斜坡多构成悬崖陡壁。

白堊紀及第三紀的粘土岩系以粘土为主联結的,故易风化,长时间浸水則不稳定,強度一般較低。

白堊紀及第三紀的砂岩系以粘土及碳酸盐共同联結的,多属半充填式联結,故其強度較低,抗风化能力較弱,第三紀砂岩尤甚于白堊紀砂岩,如何家梁一带所見到的砂岩风化极甚。

晚第三紀及早第四紀的堆积物联結物質大致相同,然而其联結方式則略有不同。

第三紀及白堊紀岩石多属充填或基底式联結,而晚第三紀及早第四紀堆积物为粒間未充填式联結。前者密度很大,干容重一般为 2.0 左右,而后者一般为 1.7—1.8,故其強度远逊于前者。

广泛分布的第四紀各种黃土系由碳酸盐参与作用的胶体粒間联結的,遇水极不稳定,因为此类岩石尚未进入成岩作用阶段,故抗风化适应性很高。其机械強度决定于其組成成分及存在状态(密度及湿度),一般較低(有关黃土的工程性質見后面有关章节)。

3. 地質结构的工程地質条件不仅决定于其岩石的特性,而亦受岩层的构造作用的控制。

区域中古生代(中泥盆世至中石炭世)岩层所遭受的构造作用极为剧烈,岩层受劈理及节理切割极为破碎,常呈陡倾斜状产出,其工程地质条件极不良。此系岩层所受构造作用影响的程度,控制着渠道的边坡稳定性及渗漏情况。

晚石炭世以后的岩层受构造作用变形較輕微。因此,其工程地质性質主要受岩石性質的控制。

4. 区域的构造作用具有明显的繼承性。在中生代构造活动的基础上,新生代时亦在活动。其活动性質属于振盪性升降运动。現代构造活动也是在此基础上发展起来的。由此决定,区域地震現象較为活跃。据野外考察資料分析,区域地震烈度划分結果示于表5。

表5 引洮总干渠沿綫地震烈度划分表

地 段	岷县	石門	大营梁	柳家岔	偏城	董志塬
烈 度	VIII	VII	VII	VIII	VIII	VIII

以上便是区域地质结构工程地质条件一般特点。

II. 水文地质条件*

前面已經說明,引洮渠道所經地区的地质、地貌、气候等条件都很复杂,因此,水文地质条也显示出了它的复杂性,在不同地段,各具不同的特征。由于資料限制,在此只能作一概括論述。

区域以內,属于海滨与内陆气候过渡带的半干旱型气候带;在地貌上,有古城—浪家山、六盘山等因褶皺上升的剥蝕山地,有紅色构造盆地构成的剥蝕丘陵区,有面积广大的黃土高原,后者在六盘山以西,被切割成“梁”、“峁”地形,使黃土呈島状分布,六盘山以东漸漸过渡为“塬”地形态。

本区所見之地下水类型有两种,即: 1) 孔隙潛水及 2)裂隙潛水。

第四紀的松散岩层,构成孔隙潛水蓄水层;第三紀、白堊紀及古生代的岩层,构成裂隙潛水蓄水层。

地下水水质成分比較复杂,大致可以这样分: 古城—尖山一带,为低矿化的重碳酸盐类型水;尖山—朱家山一带,为矿化度較高的氯化納質水;朱家山—六盘山以西,水质类型复杂,一般为硫酸盐类型水,而与氯化物、重碳酸盐类型相混,呈过渡状态的混合型水;六盘山以东,为低矿化的重碳酸盐类型水。含水层多以泉的形式出露,流量都較微小。水的补給来源以大气降水为主。

从上面的概略分析中可知:区域地下水的埋藏与地质构造有密切关系,而水质則决定于含水岩层的性质;地貌及气候的特点,决定着地下水的儲量及其动态。根据地质构造、岩层性质、气候等条件,全区可分为两大类型区。

* 执笔者张振中。

I^w 基岩裂隙潛水型区 此型区基岩出露較为广泛，一般是山地或丘陵地，由于所处地形、地質結構、气候条件等各有不同，故分为下列两个亚类区：

I^w 古生代地槽海西褶皺带及中生代、新生代褶皺山系裂隙潛水亚类区 此亚类区分布于渠綫不同地段，分述如下：

1. 古城—浪家山古生代地槽海西褶皺带裂隙潛水地段：本段南起岷县古城，北至浪家山，东位于野狐桥、分水岭之西，西靠洮河右岸。

地貌上，本段属于构造剝蝕山地，洮河穿行于山区峡谷地帶，出黑店峽，离本区，向北流入黃河。

由于大气团活动的特点及秦岭地形的影响，本段位于岭南潮湿气候带与黃土高原干旱气候带之間，属半干旱型气候；年雨量在 600 毫米左右，小者也在 400 毫米以上；蒸发量在 1,500 毫米以下；潮湿系数为 0.33 左右，属湿度不足带。

地質构造上，本段位于秦岭地槽海西褶皺带的岷县复背斜的东北翼；岩层因強烈褶皺而破碎，主要的岩层为泥盆紀、石炭紀和二迭紀淺变質的碎屑岩及石灰岩，构成裂隙潛水含水层。

含水层中的水，在雨季形成間歇性裂隙泉水出露，泉的流量小于 1 升/秒，由于岩层透水条件良好、地形陡峻，更为地下逕流的运动提供了有利条件，所以地下水水质良好，为矿化度小于 1 克/升的重碳酸-鈣型水，用庫尔洛夫式表示于下：

$$M_{0.369} = \frac{HCO_{79.53}^3 SO_{18.48}^1}{Ca_{47.40} Na_{33.5} Mg_{18.9}},$$

此水对飲用、工业技术应用都沒有害处。在个别地方如古城水庫坝軸綫处的水属硫酸、重碳酸-鎂、鈣型水，庫尔洛夫表示式： $M_{0.926} = \frac{SO_{32.08}^4 HCO_{26.39}^3 Cl_{21.5}}{Mg_{57.2} Ca_{29} Na_{13.6}}$ ，这种水质的形成，可能与岩层中硫酸盐类的溶解有关，为不良的生活用水，对混凝土有弱侵蝕性。

石門、九奠峽、黑店峽等厚层石灰岩构成的峡谷地段，可能有裂隙喀斯特（溶洞）水存在。此处泉流量較大，水质良好，为重碳酸-鈉、鈣型水，矿化度是 0.3 克/升，庫尔洛夫表示式： $CO_{5.8}^2 M_{0.3} = \frac{HCO_{67.3}^3 Cl_{23.6} SO_{9.4}^1}{Ca_{54.7} Na_{31.1} Mg_{4.1}}$ ；式中游离二氧化碳含量大于 5 毫克/升，在修筑混凝土建筑物时，对建筑物有弱侵蝕性。据黑店峽的一个水样分析資料，

属硫酸、重碳酸-鈉、鈣型水，矿化度小于 1 克/升，庫尔洛夫表示式： $M_{0.41} = \frac{SO_{56.8}^4 HCO_{45.8}^3}{Na_{58.6} Ca_{39.7}}$ ，此水为很差的生活用水，硫酸根离子对混凝土有侵蝕性。附近煤层中含有硫化物，以及其他岩层中含有石膏，对这种水化学成分有密切关系。

2. 华家岭隴西地块裂隙潛水地段：本段是隴西地块的上升部分，自古以来經受剝蝕作用，岩层风化破碎，裂隙发育，基岩之上复盖有一层很薄的黃土（約 2—3 米）。

此处地形并不显示其高山特征，而是黃土高原上的丘陵。

年降雨量为 500 毫米，蒸发量为 1,266 毫米，潮湿系数为 0.39，属湿度不足的半干旱型气候地带。

构成华家岭的主要岩层是皋兰羣变質岩系，但出露并不广泛。

上述条件下,华家岭的含水层有双层性,即在黃土层和基岩接触带为一孔隙潛水层;基岩裂隙带中又为一裂隙潛水层。补給来源都以大气降水为主。前者以接触泉的形式流出地表,后者以裂隙泉的形式流出地表;泉水流量为0.01—0.1升/秒;水质成分比較复杂。由于基岩裂隙带的裂隙都較紧閉,长期受地下水的溶解淋滤作用,在裂隙中藏有不少盐份,种类甚为复杂,地下水在这样的裂隙中埋藏和运动,遂具有极为复杂的化学成分。在黃土层中的水,具有較为单一的性质: $\text{CO}_3^{2-} \text{M}_{0.3664} \frac{\text{HCO}_3^{3-}}{\text{Ca}_{43.64} \text{Mg}_{35.06}}$,为重碳酸-鈣、镁型水,矿化度小于1克/升,是良好的水源。

3. 六盘山中生代、新生代褶皺山系裂隙潛水地段:本段即以六盘山地为主,海拔高度在3,000米左右,大致依北北西-南南东方向延伸,横貫于黃土高原上,以它为界分为隴东、隴西两部分,它阻隔了东西两方面气流的循环,造成海陆气候的过渡地带,亦属半干旱型气候带。

在构造上,自中生代燕山运动形成褶皺山系后,在新生代喜马拉雅运动的影响下,再次上升成山,現在还在不断上升,經受剥蝕,基岩广泛出露。

六盘山西部罗城、柳林子、石家洼一带以北,由白堊紀砾、砂岩、粘土岩构成含水层;偏城、苦菜沟梁一带及六盘山,由第三紀的砂岩、粘土岩等岩层构成含水层,除裂隙潛水层外,在胶結疏松的砂、砾岩层中可能还有层間水存在。含水层水量不大,主要补給来源为大气降水;水质属低矿化的重碳酸、硫酸盐类型水。

六盘山东部侯家沟-蝶蝶沟口,主要由白堊紀六盘山羣岩层构成含水层,水量比較丰富;开城-刘政店子,白堊紀地层出露很高,低梁处是第三紀紅色砂岩、粘土岩,由它构成含水层,水量不大,补給来源可能为大气降水,水质較好。刘政店子的水为重碳酸-鉀、鈉、镁、鈣質水,矿化度为0.57克/升,庫尔洛夫表示式:

$$\text{CO}_3^{2-} \text{M}_{0.57} \frac{\text{HCO}_3^{3-} \cdot \text{SO}_4^{2-}}{\text{K} + \text{Na}_{43.7} \text{Mg}_{28.2} \text{Ca}_{28.1}}.$$

I₂ 中生代、新生代紅色岩系孔隙裂隙潛水亚类区 本亚类区位于浪家山-朱家山一带,属旁山丘陵区,并显示出隴崗地形。由于古代夷平作用,这些隴崗地之頂面一般都很平緩,只浪家山、南屏山一带为白堊系底部砾岩因构造作用而形成的陡峻山岭。本亚类区和上述 I₁ 亚类区中之第1地段(古城-浪家山地段)相毗連,因此,气候条件都很相似。

本区构造并不复杂,褶皺不強烈,主要的岩石为白堊紀、第三紀的紅色粘土質頁岩、粘土岩、砂岩、砾岩等。含水层中水的补給来源为大气降水。

此亚类潛水分布于不同地层及地区,分段描述于下:

1. 浪家山-尖山中生代白堊紀紅色岩系裂隙潛水地段:白堊紀地层出露于浪家山-尖山一带,园树、关山等处也有零星出露。它构成裂隙潛水的含水层,一般泉水流量不大,小于1升/秒,砂砾岩层中可能有孔隙层間水存在,水量比前者丰富。裂隙潛水在雨季以間歇泉的形式出露,水量較大,水质良好,为低矿化的重碳酸-鈣、鈉型水,惟有些地方,游离二氧化碳含量較高,对混凝土有弱侵蝕性,以庫尔洛夫式表示: